

УДК 539.2:538.915

©1994

ЭЛЕКТРОННЫЕ СВОЙСТВА SmSb

*К.Р.Гегешидзе, Г.П.Нижникова, О.В.Фарберович, А.В.Гигинеишвили,
Л.Н.Глурджидзе*

Впервые самосогласованным линейным методом присоединенных плоских волн рассчитаны энергетическая зонная структура и плотности состояний моноантимонида самария. Показано существенное влияние спин-орбитального взаимодействия на положение экстремумов зон относительно уровня Ферми. Обсуждаются спектры оптических параметров, полученные на основе как расчета, так и прямого изменения прозрачности и отражения пленок SmSb.

Физические свойства пнитидов редкоземельных элементов (РЗЭ) все еще мало изучены [1–3]. Однако среди неотличающихся многочленностью работ по расчету энергетической зонной структуры соединений РЗЭ в последнее время существенно возрос удельный вес исследований электронного спектра пнитидов [4–6]. Это, очевидно, во многом определяется отходом от первоначальной, упрощенной оценки пнитидов РЗЭ как класса металлов, кристаллическая решетка которых формируется трехвалентными редкоземельными ионами (совместно с элементами V группы). Многие неординарные свойства этих материалов оказались связаны с промежуточной валентностью редкоземельного иона [2,3,5–7]. Высказываются предположения и о формировании тяжелофермионных систем [2,3,8,9].

Ранее [5] мы представили результаты расчета энергетического спектра, межзонной плотности состояний, оптических свойств TmSb с промежуточной валентностью (2.7 ± 0.1) иона тулия. В данной работе впервые исследуются электронные свойства моноантимонида самария. Результаты рентгеновской абсорбционной спектроскопии свидетельствуют о валентности Sm, близкой к целочисленной (3.0 с точностью до 0.1).

Методика расчета аналогична [5] — используется самосогласованный линейный метод присоединенных плоских волн в формализме функционала локальной электронной плоскости [10]. На основе скалярно=релятивистского приближения [11] принимаются во внимание соответствующие поправки. После получения самосогласованного кристаллического потенциала учитывается и спин-орбитальное взаимодействие (СОВ).

Зонная структура моноантимонида самария с постоянной решетки 6.27 \AA [12] представлена на рис. 1. В расчет включены валентные электроны $4f^6 6s^2$ (Sm) и $5s^2 5p^3$ (Sb) оболочек. Остальные электроны отнесе-

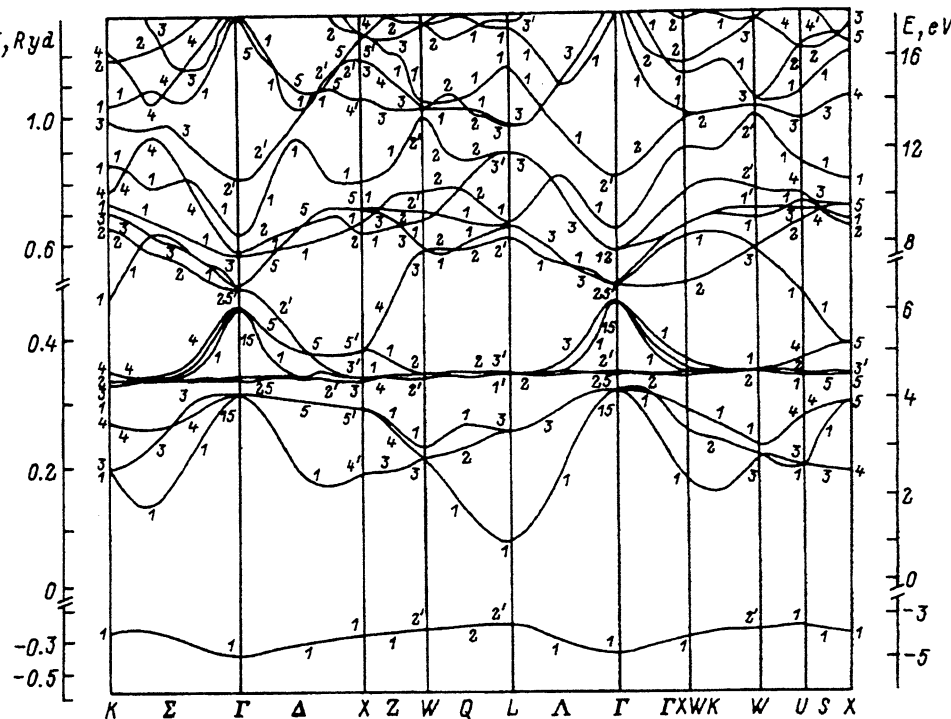


Рис. 1. Энергетическая зонная структура SmSb.

ны в остав, состояния которого пересчитывались на каждой итерации. Сведения о радиусах $m-t$ сфер, определенных по точке пересечения потенциалов атомоподобных областей на нулевой итерации, и о параметрах линеаризации, выбранных вблизи центров соответствующих зон, приведены в табл. 1.

Таблица 1

Параметры расчета энергетической зонной структуры SmSb ($a = 6.27 \text{ \AA}$ [12])

	R_{m-t} , at, u	E_l , Ryd					
		l					
		0	1	2	3	4	
Sm	2.990	0.65	1.1	0.50	0.48	1.3	
Sb	2.934	-0.30	0.30	1.3	1.3	1.3	

Для достижения самосогласования (которое проводилось на электронной плотности в схеме среднего арифметического с параметром самосогласования $\alpha = 0.05$) было сделано 75 итераций в энергетическом интервале $-0.4 \div 0.7 \text{ Ryd}$, в сетке из 19 точек в неприводимой части зоны Бриллюэна. Затем полученный самосогласованный потенциал использовался для зонного расчета в 89 точках в интервале энергий $-0.5 \div 1.3 \text{ Ryd}$ около $m-t$ нуля. Значения энергии были стабилизированы с точностью $\sim 10^{-3} \text{ Ryd}$.

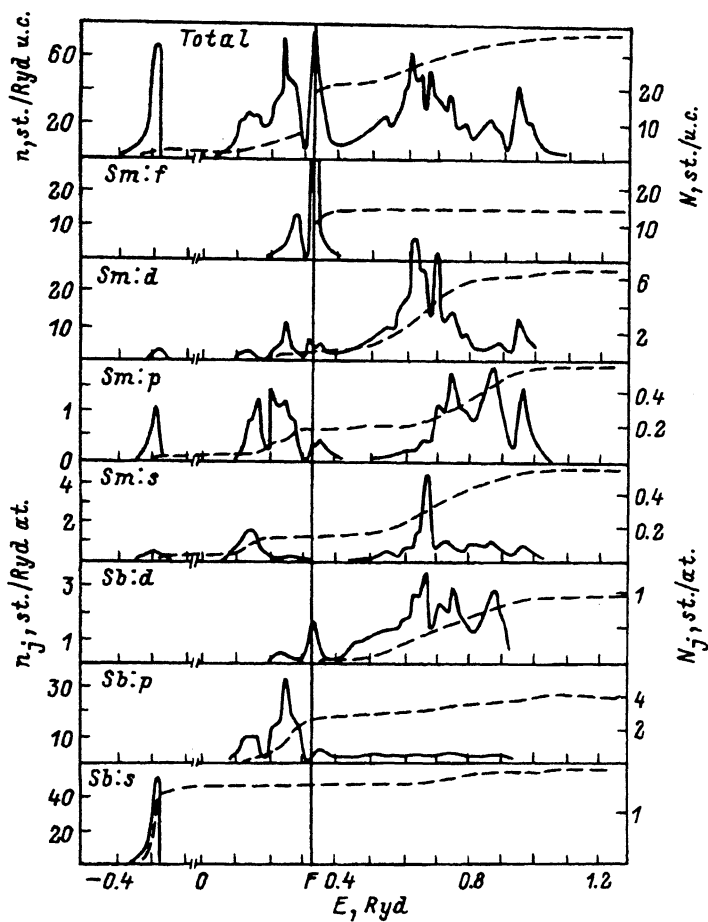


Рис. 2. Парциальные, интегральные и полная плотности состояния (без учета СОВ).

На рис. 2 приведены полная, парциальные и соответствующие им интегральные плотности состояний, вычисления которых проводились комбинированным тетраэдрическим методом [13] с использованием квадратичной интерполяции собственных значений энергий. Сведения о плотности состояний на уровне Ферми (без учета СОВ) и распределении зарядов валентных электронов по $t-t$ сферам самария и сурьмы приведены в табл. 2. Видно, что из двух 6s электронов атомов Sm в $t-t$ сфере остается лишь 0.34 электрона, которые распределены по s и p состояниям; 0.41 5s и 0.52 6p электронов сурьмы также оказываются вне области $t-t$ сфер. Некоторая часть этих электронов переходит в d - и f -подобные состояния.

В сравнении с халькогенидами РЗЭ [11, 14] зонная структура их пниктидов значительно сложнее. Это связано с нецральным перекрытием абсолютных экстремумов зон (максимуму валентной зоны соответствует состояние Γ_{15} , минимуму зоны проводимости — X_3) и с имеющим основополагающее значение перекрытием волновых функций f -электронов

Таблица 2

Плотности состояний на уровне Ферми $n_j^i(F)$ (st./Ryd at.) и заряды валентных электронов Q_j^i в $m-t$ сferах самария и сурьмы

		<i>s</i>	<i>p</i>	<i>d</i>	<i>f</i>	Электроны			
						межатомные	полные	остовные	валентные
<i>n</i>	Sm	0.34	0.30	3.31	1662.8	27.5	1699.9		
	Sb	0.10	1.93	2.63	1.27	-" -	-" -		
<i>Q</i>	Sm	0.16	0.18	0.70	5.44	2.39	13	54	6.48
	Sb	1.59	2.48	0.05	0.01	-" -	-" -	46	4.13

катиона и *p*-электронов аниона. Перекрытие приводит к существенной гибридизации состояний вблизи уровня Ферми, оказывает влияние на энергетическое положение, ширину и дисперсию зон. В качестве примера можно указать на уширение и дисперсию части *f* полосы в окрестностях центра зоны Бриллюэна, обусловленной гибридизацией и взаимным отторжением Γ_{15} состояний *p*-электронов сурьмы и *f*-электронов самария. Дисперсия столь значительна, что позволяет формально, наряду с гибридизированной *p-f* валентной зоной (ширины $\Delta E_{pf} = 3.245$ eV), в окрестностях точки Γ отдельно от *f*-полосы ($\Delta E_f = 0.155$ eV) рассматривать еще одну — верхнюю гибридизированную *f-p* зону ($\Delta E_{fp} = 1.578$ eV). Наинизшая валентная зона шириной 1.349 eV образована *s*-электронами сурьмы.

В табл. 3 для некоторых точек и осей высокой симметрии оценены относительные вклады *f*, *d*(Sm) и *p*(Sb) состояний в формирование валентных зон. От зоны проводимости присутствует только наименее глубокая $\Gamma-\Delta-X$ ветвь. Указано их энергетическое положение (без учёта

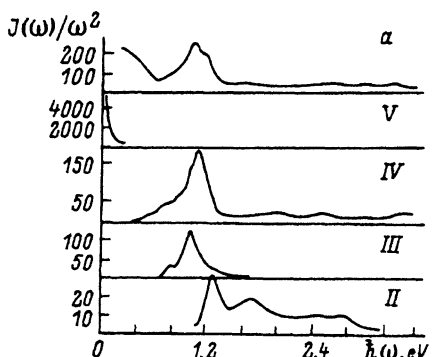


Рис. 3. Межзонная (оптическая) плотность состояний (a) и парциальные вклады различных II, III, IV(*pf*) и V(*f*) валентных зон.

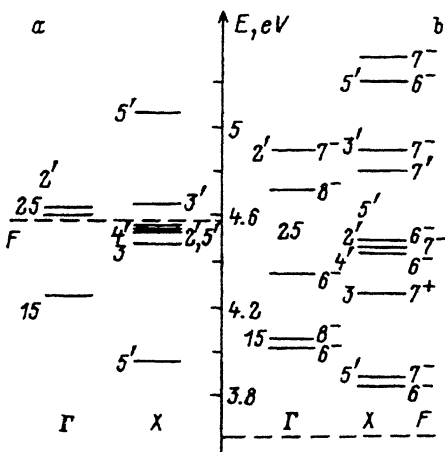


Таблица 3

Относительный вклад f , d (Sm) и p (Sb) состояний в формирование зон вблизи уровня Ферми ($E_F = 4.580$ eV) для некоторых точек и осей высокой симметрии

Зона	$E - E_{F,\text{эВ}}$	p	f	d	Зона	p	f	d
Γ_1	-0.33	0.18	0.82		Δ_1	0.55	0.21	0.24
Γ_{25}, Γ'_2	0.03, 0.06		1.0		Δ_5	0.28	0.60	0.12
Γ_1	1.58	0.68	0.32		$\Delta_2, \Delta_5, \Delta'_2$		1.0	
Γ'_1	1.87			1.	Δ_1	0.07	0.81	0.12
X'_4	-2.12	1.0			Δ_5	0.32	0.49	0.19
X'_5	-0.62	0.4	0.6		Δ'_2		0.3	0.7
X_3	-0.09			1.	λ_1	0.53	0.24	0.23
$X'_4, \tau X'_2, X'_5, X'_3$	-0.03÷0.08		1.0		λ_3	0.41	0.34	0.25
X'_5	0.58	0.11	0.89		$\lambda_3, \lambda_2, \lambda_1$		0.93	0.07
L_1	-3.58	0.69		.31	λ_1	1.0	0.84	0.06
L_3	-1.22	0.59		.41	λ_3	0.14	0.68	0.18
L'_1, L'_3, L'_2, L'_3	-0.05÷0.04		1.0		Σ_1	0.54	0.21	0.24
K_1	-2.06	0.66	0.04	.3	Σ_3	0.43	0.34	0.23
K_3	-1.96	0.75		.25	$\Sigma_1, \Sigma_2, \Sigma_4, \Sigma_3$		0.91	0.09
K_4	-0.87	0.54	0.22	.24	Σ_1	0.06	0.82	0.12
K_1	-0.09		0.88	.12	Σ_3	0.09	0.74	0.17
K_3, K_1, K_4	-0.05÷0.02		0.91	.09	Σ_4	0.13	0.71	0.16

та СОВ) по отношению проходящему через f -полосу уровню Ферми ($E_F = 4.580$ eV). Из этой таблицы следует, что существенна не только $f-p$ гибридизация, но и примесь d -состояний для многих точек. Примечательно, что абсолютный минимум зоны проводимости X_3 оказался под f -полосой (и уровнем Ферми).

На основе зонного строения были рассчитаны (рис. 3) межзонная (оптическая) плотность состояний, парциальные вклады различных валентных зон. Хотя аналогично TmSb [5] основные возбуждения по-прежнему приходятся на ближнюю ИК-область, отсутствует характерный для TmSb ряд максимумов в интервале энергий 0.5–0.1 eV [5]. Это связано с тем, что в отличие от SmSb в моноантимониде туния практически по всей зоне Бриллюэна большинство f -состояний располагается ниже уровня Ферми.

Учет спин-орбитального взаимодействия приводит к существенным изменениям зонного спектра SmSb. Схематически на рис. 4 это продемонстрировано для некоторых состояний в точках Γ и X . Естественно, имеют место расщепление ($\Delta \simeq 0.1 \div 0.5$ eV) вырожденных состояний, энергетическое смещение зон. Многократно увеличивается ширина f -полосы (0.57 eV вместо 0.03 eV в точке Γ ; 0.46 eV взамен 0.11 eV в точке X). Однако наиболее важным представляется понижение почти

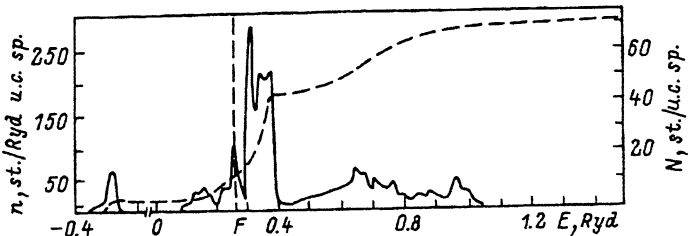


Рис. 5. Полная и интегральная плотности состояний с учетом СОВ.

на 1 eV уровня Ферми ($E_F = 3.622$ eV). В результате над ним оказывается не только вся f -полоса, но и часть состояний pf валентной зоны. Следовательно, свойства именно этой гибридизированной зоны станут основополагающими для большинства кинетических процессов [15] и будут определять характер возможных оптических переходов электронов. Теперь зазор (типа псевдощели) величиной ~ 0.55 eV разделяет два (заселенный и пустой) острых максимума плотности состояний (рис. 5). С этим значением энергии хорошо согласуется (рис. 6) энергетическое положение основной структуры отражения (0.47 eV), максимума мнимой части диэлектрической проницаемости (0.7 eV). Отражение и прозрачность измерялись [16] на хорошо сформированных (вплоть до текстурированного монокристалла) пленках [12]. На рис. 6 приведены и некоторые результаты расчета спектральных зависимостей оптических параметров. Качественно спектры хорошо соответствуют друг другу; длинноволновое смещение же структур в измеренных зависимостях по отношению к рассчитанным следует, исходя из вышеизложенного, приписать значительному влиянию СОВ (расчет основывался на зонной структуре, полученной без учета СОВ).

Энергетическое положение максимумов в теоретическом спектре ε_2 , возможная идентификация этих структур на основе прямых переходов электронов между ближайшими максимумами плотности состояний $pf-f(fp)$ приведены в табл. 4. Следует отметить, что после учета СОВ непосредственно у уровня Ферми оказался полностью заполненным максимум валентной зоны Q_1 , расположенный на оси относительно низкой симметрии ($L-W$). Вероятность перехода электронов из этой характеризующейся уже значительной pd гибридизацией (0.60 p , 0.34 d , 0.06 f состояний) зоны в f -полосу может оказаться существенной.

Таблица 4

Энергетическое положение и идентификация максимумов теоретического спектра ε_2 (без СОВ)

	E_i , eV							
	0.7	0.8	1.0	1.1	1.3	1.7	2.5	2.7
Переход	$\Sigma_4 - \Sigma_1$	$\Sigma_3 - \Sigma_1$,	$\Sigma_3 - \Sigma_1$,		$\Sigma_1 - \Sigma_1$,	$\Delta_1 - \Delta_5$,		
		$\Delta_5 - \Delta'_2$	$\Delta_5 - \Delta_5$	$\Sigma_4 - \Sigma_3$	$\Delta_1 - \Delta_1$	$\Sigma_1 - \Sigma_4$	$\Delta_1 - \Delta'_2$	$X'_4 - X'_5$

По-прежнему актуальным остается вопрос о возможной ответственности состояний экситонного типа [17] за своеобразие оптических спек-

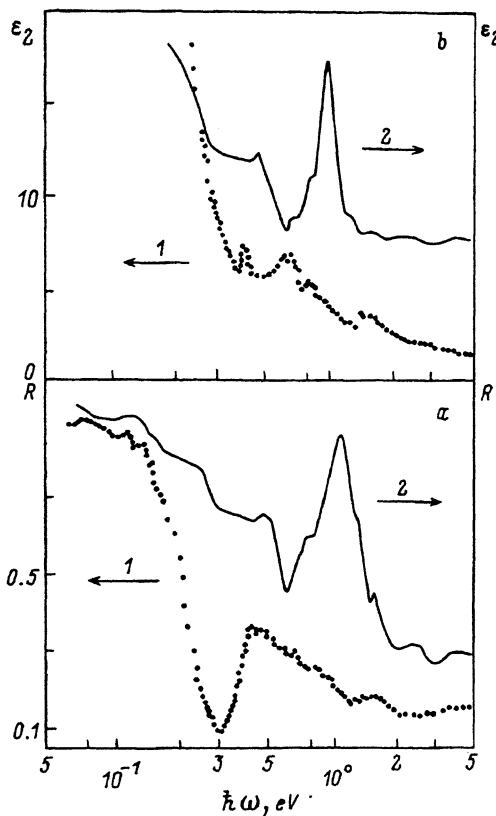


Рис. 6. Спектры отражения (а) и мнимой части диэлектрической проницаемости (б).

1 — эксперимент, 2 — теория.

тров пниктидов РЗЭ. Одним из аргументов данного подхода является малая ширина структур. Действительно, и в SmSb основная полоса отражения (как в измеренном, так и в рассчитанном спектрах) имеет полуширину около 0.4 eV. Характер рассматриваемого материала не позволяет судить о роли фононов, примесей, непрямых межзузочных переходов электронов в наблюдаемые спектральные закономерности. В то же время можно отметить вклад плазмонов с характеристической энергией 0.39 eV в дисперсию оптических постоянных. Это экспериментально обосновывается пересечением нуля (с положительным наклоном) зависимостью $\epsilon_1(\omega)$ и четким максимумом в спектре функции потерь.

Авторы благодарны Н.Н.Ефремовой и Л.Д.Финкельштейн за атtestацию валентного состояния Sm, И.А.Смирнову и К.А.Кикоину за интерес к работе.

Список литературы

- [1] Gasgnier M. // Phys. Stat. Sol. (a). 1989. V. 114. P. 11–71.
- [2] Ochiai A., Suzuki T., Kasuya T. // J. Phys. Soc. Japan. 1990. V. 59, N 11. P. 4129–4141.
- [3] Monnier R., Degiorgi L., Delley B. // Phys. Rev. B. 1990. V. 41, N 1. P. 573–581.

- [4] Degiorgi L., Basca W., Wachter P. // Phys. Rev. B. 1990. V. 42. N 1A. P. 530-539.
- [5] Гегешидзе К.Р., Нижникова Г.П., Фарберович О.В., Гигинеишвили А.В., Плавинский Т.Л., Глурджидзе Л.Н. // ФТТ. 1992. Т. 34. № 3. С. 231-237.
- [6] De S.K., Chatterjee S. // J. Phys. C. 1988. V. 21. N 17. P. 3261-3272.
- [7] Глурджидзе Л.Н., Джоджуа Н.О., Ломоури И.Г. // Сообщ. АН Грузии. 1991. Т. 141. № 1. С. 85-88.
- [8] Nakamura O., Kwon Y.S., Ochiai A., Takeda T., Suzuki T., Kasuya T. // Phys. B. 1990. V. 163. N 1/3. P. 638-640.
- [9] Monnier R., Degiorgi L., Delley B., Koerlling D.D. // Ibid. P. 110-112.
- [10] Блавштейн И.М., Власов С.В., Нижникова Г.П., Фарберович О.В. // Деп. в ВИНИТИ. 1988. № 2791-В88. 41 с.
- [11] Farberovich O.V., Nizhnikova G.P., Vlasov S.V., Domashevskaya E.P. // Phys. Stat. Sol. (b). 1984. V. 121. N 1. P. 241-253.
- [12] Джабуа З.У., Дадиани Т.О., Глурджидзе Л.Н., Докадзе Э.В., Санадзе В.В. // Сообщ. АН Грузии. 1987. Т. 127. № 3. С. 605-607.
- [13] Резер Б.И., Шайкина О.И. // Деп. в ВИНИТИ. 1982. № 777-82. 42 с.
- [14] Farberovich O.V. // Phys. Stat. Sol. (b). 1981. V. 104. N 1. P. 365-374.
- [15] Глурджидзе Л.Н., Дадиани Т.О., Джабуа З.У., Докадзе Э.В., Тактакишивили М.С., Санадзе В.В. // ФТТ. 1986. Т. 28. № 9. С. 2860-2862.
- [16] Глурджидзе Л.Н., Плавинский Т.Н., Дадиани Т.О., Джабуа З.У., Санадзе В.В. // Сообщ. АН Грузии. 1987. Т. 126. № 3. С. 525-528.
- [17] Kwon Y.S., Takeshige M., Suzuki T., Kasuya T. // Phys. B. 1990. V. 163. N 1/3. P. 328-330.

Грузинский технический университет
Тбилиси

Поступило в Редакцию
23 марта 1993 г.
В окончательной редакции
22 ноября 1993 г.